

Δελτ. Ελλην. Γεωλ. Εταιρ.	Τομ.		σελ.	Aθήνα
Bull. Geol. Soc. Greece	Vol.	XXII	139 - 158	1990
		pag.		Athens

**ΓΕΩΛΟΓΙΚΗ - ΜΕΤΑΛΛΟΓΕΝΕΤΙΚΗ ΠΡΟΣΕΓΓΙΣΗ ΤΟΥ
ΣΙΔΗΡΟΥΧΟΥ ΣΧΗΜΑΤΙΣΜΟΥ ΣΤΑ ΗΦΑΙΣΤΕΙΟΪΖΗΜΑΤΟΓΕΝΗ
ΠΕΤΡΩΜΑΤΑ ΤΗΣ ΠΕΡΙΟΧΗΣ ΜΑΥΡΟΥ ΒΡΑΧΟΥ ΝΟΜΟΥ
ΚΙΛΚΙΣ**

Π. ΤΣΑΜΑΝΤΟΥΡΙΔΗΣ* και Π. ΧΩΡΙΑΝΟΠΟΥΛΟΥ**

ΣΥΝΟΨΗ

Στρωμένοι σιδηρούχοι σχηματισμοί, τύπου Algona, φιλοξενούνται στην Περμοτριαδική ηφαιστειοϊζηματογενή σειρά Ακρίτα-Μεταλλικό-Δουμπιά. Ο δυαδικός μαγματικός χαρακτήρας και οι διαφορετικές ασβεστοχλαλικές και αβυσσοικές θολεϊτικές συγγένειες, των περιβαλλόντων δεινών και βασικών μεταφαιστειτών, αντίστοιχα, εκφράζουν το, Ανδικού τύπου, γεωτεκτονικό περιβάλλον πετρογένεσης. Η K-μετασωματωση που παρατηρείται στα ηφαιστειακά πετρώματα είναι αποτέλεσμα σύνδρομης υδροθερμικής εξαλοίωσης, του υποθαλάσσιου συστήματος που απόθεσε χημικά πυριτολιθικές και σιδηροξεΐδιες στρώσεις. Η παρουσία σχετικά υψηλών συγκεντρώσεων βασικών μετάλλων και θειούχων ορυκτών βαρύτη, φθορίτη και σεελίτη στο στρωμένο ιθούχο σχηματισμό ενισχύουν την πιθανότητα υπαρξης συμπαγούς θειούχου μεταλλοφορίας.

A B S T R A C T

Alogona type Banded Iron Formations (BIF) occur in the Permottriassic Akrita-Metalliko-Dubia volcanosedimentary series. The obtained bimodal magmatism and, the calcalkaline and abyssal tholeiitic affinities of the acid and basic metavolcanic host-rocks, respectively, suggest an Andean type petrotectonic environment of rock formation. The K-metasomatic characteristics showed by the associated, volcanic rocks, are products of premetamorphic hydrothermal alteration, related to hydrothermal fluids debouching on the sea floor and chemically precipitating cherty and iron oxide beds. The presence of base metal sulfides, baryte, fluorite and scheelite in the BIF may be indicative for associated massive sylfide deposits.

1. ΕΙΣΑΓΩΓΗ

Στα πλαίσια της βασικής κοιτασματολογικής έρευνας του ΙΓΜΕ για εντοπισμό μεταλλικών συγκεντρώσεων οικονομικής σημασίας περιλαμβάνεται και η μελέτη της ηφαιστειοϊζηματογενούς σειράς Ακρίτα-Μεταλλικό Δουμπιάς, Ν.Κιλκίς-Θεσ/νίκης. Στην παρούσα εργασία μελετήθηκαν τα μεταφαστειοϊζηματογενή πετρώματα της περιοχής Μαύρου

* ΙΓΜΕ, Παρ/μα Θεσ/νίκης, Φράγκων 1-Μοακώφ 10

** ΙΓΜΕ, Αθήνα Δ/νση Ορυκτολογίας Πετρογραφίας

Ανακοινώθηκε στη Συνεδρία της Θεσμούλογίχης στις 28/5/87 - Τμήμα Γεωλογίας. Α.Π.Θ.

Βράχου, που είναι τα βόρεια δρια της υποθαλάσσιας μεταηφ/νούς σειράς Ακρίτα-Μεταλλικού Δουμπιάς (Α. Πέρμιο-Τριαδικό), μέσα στην οποία παρεμβάλλεται στρωματόμορφη μεταλλοφορία σιδήρου. Η σειρά είναι γνωστή ως Περιροδοπική ζώνη (KOCKEL-MOLLAT 1977). Λόγω της παρουσίας θειούχων και οξειδιοσιδηρούχων μεταλλικών συγκεντρώσεων στην περιοχή Μαύρου Βράχου.

Η περιοχή του Μαύρου Βράχου περιλαμβάνεται στο τοπογραφικό Φ.Χ. "ΧΕΡΣΟ" σε κλίμακα 1:50.000 και βρίσκεται Νότια της ομώνυμης λίμνης Δοϊράνης και βόρεια του χωριού ΧΕΡΣΟ (Σχ. 1).

2. ΓΕΩΛΟΓΙΚΗ ΔΟΜΗ

Η περιοχή του Μαύρου Βράχου δομείται κυρίαρχα από ηφαιστειοϊζηματογενή πετρώματα της σειράς Ακρίτα-Μεταλλικού Δουμπιάς στα οποία φιλοξενούνται σιδηρούχοι σχηματισμοί.

2.1. Ηφαιστειοϊζηματογενής σειρά

Η ηφαιστειοϊζηματογενής σειρά με BBΔ-ΝΝΑ διεύθυνση (ΙΩΑΝΝΙΔΗΣ και ΚΕΛΕΠΕΡΤΖΗΣ, 1985) εντοπίζεται σ' δύο το μήκος και πλάτος της περιοχής Μ.Βράχου (Σχ. 1). Στο ανατολικό τμήμα τα μεταφαιστειοϊζηματογενή πετρώματα βρίσκονται σε συμφωνία με τους σχηματισμούς της σειράς Βερτίσκου, ενώ στο δυτικό τμήμα φαίνεται να επικαθούνται στη σειρά Ντεβέ Κορδν (ανάστροφη τοποθέτηση).

Δεδομένα για την ηλικία των πετρωμάτων της ηφαιστειοϊζηματογενούς σειράς αναφέρονται κατά KOCKEL et.al. 1977 'Άνω Πέρμιο έως Σκύθιο (κατ. Τριαδικό). Κατά τους ΚΕΛΕΠΕΡΤΖΗ Α.-ΔΗΜΗΤΡΙΑΔΗ Χ., (1984) είναι Τριτογενούς ηλικίας . Στην περιοχή δυνατή εντοπίστηκαν εντός των σχηματισμών του πιθανού μέσου Ιουρασικού (Δογγέριο) καθοδηγητικά απολιθώματα διπλανά Heterostratiiden και τρηματόφρα, με Lingulella Tenera Carinata, Nodosaria, cf. Lenticulina Varian Fornatecta, Lenticulina, Ruthesis (MERCIER 1965); τους Ντεβέ Κορδν τοποθετείται στο Ανίσιο-Λαδίνιο-Κέρνιο (ΠΑΠΑΣΤΑΥΡΟΥ Σ.-ΧΑΤΖΗΔΗΜΗΤΡΙΑΔΗ 1980-1981).

2.2. Στρωματογραφία σιδηρούχων σχηματισμών

Ο μεγαλύτερος δγκος του Θεούχου σχηματισμού, εντοπίζεται κύρια στην κορυφή του Μαύρου Βράχου (ύψος 280μ.) και εκτείνεται προς βόρεια σε δύο το μήκος περίπου 700μ. Όλος ο χώρος βρίσκεται μεταξύ της παλαιάς δημοσιας οδού Χέρσο-Ακρίτα ανατολικά

Σχ 1 ΧΑΡΤΗΣ ΗΦΑΙΣΤΕΙΟΙΖΗΜΑΤΟΓΕΝΟΥΣ ΣΕΙΡΑΣ

ΟΠΟΙΟΜΟΙΑ ΕΠΟΧΗ ΤΟΥ ΓΕΩΛΟΓΙΚΟΥ ΧΑΡΤΟΥ

Φ. ΧΕΡΙΟΝ (επ.) & Φ. ΚΙΛΑΚΗΣ (επ.)

Ε. ΚΟΚΚΕΛ - Κ. ΙΩΑΝΝΗΣ 1975

Εγκαίρης περιοχής της Ακρωτηρίου

ΚΑΙΜΑΚΑ

Π. Παπαδόπουλος και Λ. Ακοσοκαΐ

ΥΠΟΔΙΝΗΜΑ

ΤΕΤΑΡΤΟΓΕΝΗΣ

ΟΙΚΙΣΜΟΣ

- 1 Διάδοχης μεταβαθμίζοντας σε λάσπης από φυσικόν γενέσεως γεώποντα
- 2 Διάδοχης μεταβαθμίζοντας μηρίς γράμμης από φυσικόν γενέσεως γεώποντα
- 3 Διάδοχης μεταβαθμίζοντας κύριος γράμμης από φυσικόν γενέσεως γεώποντα
- 4 Διάδοχης μεταβαθμίζοντας κύριος γράμμης από φυσικόν γενέσεως γεώποντα

ΤΕΤΑΡΤΟΓΕΝΗΣ ΑΔΙΑΒΡΟΧΟ

- 5 Πλήρης μερικάς απόρρετης από φυσικόν γενέσεως γεώποντα με χαρακτηριστικό της περιεχόμενο
- 6 Ρυθμός απόφυλλος, απορροποιητικής σύρης σε ανθρώπινη ιδιότητα
- ΕΘΝΙΚΗ ΝΙΕΡΗ ΡΟΤΗΣ - ΒΟΥΤΙΩΝ
- καρύον της ανθρώπινης
- 7 Αδιαβρόχης συναντίται με μεταβαθμίζοντας, με ευδομής από κάποιες μορφές της απόφυλλης απόρρετης, με συντριβής ή μεταβαθμίζοντας με συντριβής της απόφυλλης απόρρετης.

ΗΜΙΤΕΤΑΡΤΟΓΕΝΗΣ ΖΕΙΓΑ

- 8 Διάδοχης μεταβαθμίζοντας μηρίς σε βελτισμένη, γεωποντικής γενέσεως γεώποντα
- ΕΛΛΗΝΙΚΟΙ ΖΕΙΓΑΙΚΟΙ ΤΥΠΟΙ
- ΜΕΙΔΙΑΖΗΜΑΤΙΚΟΙ ΤΥΠΟΙ
- Ωμας ηματίας μεταβαθμίζοντας

ΗΕΡΑΚΑΝΙΚΑΙΑ ΜΑΖΑ

ΠΑΡΑΓΟΝΤΑ ΗΕΡΑΚΑΝΙΚΩΝ ΜΑΖΩΝ

- 11 Διάδοχης στεγνώντας μηρίς σε βελτισμένη, γεωποντικής γενέσεως γεώποντα, συναντίται με μεταβαθμίζοντας μηρίς σε λόγον μεταβαθμίζοντας υπόδειξης της περιοχής.
- 12 Διάδοχης στεγνώντας μηρίς σε μεταβαθμίζοντας μηρίς σε λόγον μεταβαθμίζοντας υπόδειξης της περιοχής.

ΜΑΓΜΑΤΙΚΑ ΠΕΤΡΩΜΑΤΑ

- 13 Βασικές, βαθαύγειες Μέση από φυσικόν Βερτίγονο

ΙΑΣΙΚΑ ΖΕΙΓΑΝΙΑ ΤΟΝΙΤΡΟΙΔΙΩΝ

ΠΑΡΑΓΟΝΤΑ ΛΟΓΙΑΝΟΥ ΕΚΡΥΠΤΟΥ

ΙΑΣΙΚΗ ΖΕΙΓΑΝΙΑ

- 14 Βασικές ζειγανίες

- 15 Βασικές ζειγανίες σε γεωποντικής γενέσεως γεώποντα
- 16 Βασικές ζειγανίες σε μεταβαθμίζοντας μηρίς σε λόγον μεταβαθμίζοντας υπόδειξης της περιοχής.
- 17 Βασικές ζειγανίες σε μεταβαθμίζοντας μηρίς σε λόγον μεταβαθμίζοντας υπόδειξης της περιοχής.
- 18 Βασικές ζειγανίες σε μεταβαθμίζοντας μηρίς σε λόγον μεταβαθμίζοντας υπόδειξης της περιοχής.

ΜΑΓΜΑΤΙΚΑ ΠΕΤΡΩΜΑΤΑ

- 19 Βασικές, βαθαύγειες Μέση από φυσικόν Βερτίγονο

ΠΑΡΑΓΟΝΤΑ ΗΕΡΑΚΑΝΙΚΩΝ ΜΑΖΩΝ

ΠΑΡΑΓΟΝΤΑ ΛΟΓΙΑΝΟΥ ΕΚΡΥΠΤΟΥ

ΙΑΣΙΚΗ ΖΕΙΓΑΝΙΑ

- 20 Βασικές ζειγανίες

- 21 Βασικές ζειγανίες σε μεταβαθμίζοντας μηρίς σε λόγον μεταβαθμίζοντας υπόδειξης της περιοχής.

- 22 Βασικές ζειγανίες σε μεταβαθμίζοντας μηρίς σε λόγον μεταβαθμίζοντας υπόδειξης της περιοχής.

- 23 Βασικές ζειγανίες σε μεταβαθμίζοντας μηρίς σε λόγον μεταβαθμίζοντας υπόδειξης της περιοχής.

- 24 Βασικές ζειγανίες σε μεταβαθμίζοντας μηρίς σε λόγον μεταβαθμίζοντας υπόδειξης της περιοχής.

- 25 Βασικές ζειγανίες σε μεταβαθμίζοντας μηρίς σε λόγον μεταβαθμίζοντας υπόδειξης της περιοχής.

- 26 Βασικές ζειγανίες σε μεταβαθμίζοντας μηρίς σε λόγον μεταβαθμίζοντας υπόδειξης της περιοχής.

- 27 Βασικές ζειγανίες σε μεταβαθμίζοντας μηρίς σε λόγον μεταβαθμίζοντας υπόδειξης της περιοχής.

- 28 Βασικές ζειγανίες σε μεταβαθμίζοντας μηρίς σε λόγον μεταβαθμίζοντας υπόδειξης της περιοχής.

- 29 Βασικές ζειγανίες σε μεταβαθμίζοντας μηρίς σε λόγον μεταβαθμίζοντας υπόδειξης της περιοχής.

- 30 Βασικές ζειγανίες σε μεταβαθμίζοντας μηρίς σε λόγον μεταβαθμίζοντας υπόδειξης της περιοχής.

- 31 Βασικές ζειγανίες σε μεταβαθμίζοντας μηρίς σε λόγον μεταβαθμίζοντας υπόδειξης της περιοχής.

- 32 Βασικές ζειγανίες σε μεταβαθμίζοντας μηρίς σε λόγον μεταβαθμίζοντας υπόδειξης της περιοχής.

- 33 Βασικές ζειγανίες σε μεταβαθμίζοντας μηρίς σε λόγον μεταβαθμίζοντας υπόδειξης της περιοχής.

- 34 Βασικές ζειγανίες σε μεταβαθμίζοντας μηρίς σε λόγον μεταβαθμίζοντας υπόδειξης της περιοχής.

- 35 Βασικές ζειγανίες σε μεταβαθμίζοντας μηρίς σε λόγον μεταβαθμίζοντας υπόδειξης της περιοχής.

- 36 Βασικές ζειγανίες σε μεταβαθμίζοντας μηρίς σε λόγον μεταβαθμίζοντας υπόδειξης της περιοχής.

- 37 Βασικές ζειγανίες σε μεταβαθμίζοντας μηρίς σε λόγον μεταβαθμίζοντας υπόδειξης της περιοχής.

- 38 Βασικές ζειγανίες σε μεταβαθμίζοντας μηρίς σε λόγον μεταβαθμίζοντας υπόδειξης της περιοχής.

- 39 Βασικές ζειγανίες σε μεταβαθμίζοντας μηρίς σε λόγον μεταβαθμίζοντας υπόδειξης της περιοχής.

- 40 Βασικές ζειγανίες σε μεταβαθμίζοντας μηρίς σε λόγον μεταβαθμίζοντας υπόδειξης της περιοχής.

- 41 Βασικές ζειγανίες σε μεταβαθμίζοντας μηρίς σε λόγον μεταβαθμίζοντας υπόδειξης της περιοχής.

- 42 Βασικές ζειγανίες σε μεταβαθμίζοντας μηρίς σε λόγον μεταβαθμίζοντας υπόδειξης της περιοχής.

- 43 Βασικές ζειγανίες σε μεταβαθμίζοντας μηρίς σε λόγον μεταβαθμίζοντας υπόδειξης της περιοχής.

- 44 Βασικές ζειγανίες σε μεταβαθμίζοντας μηρίς σε λόγον μεταβαθμίζοντας υπόδειξης της περιοχής.

- 45 Βασικές ζειγανίες σε μεταβαθμίζοντας μηρίς σε λόγον μεταβαθμίζοντας υπόδειξης της περιοχής.

- 46 Βασικές ζειγανίες σε μεταβαθμίζοντας μηρίς σε λόγον μεταβαθμίζοντας υπόδειξης της περιοχής.

- 47 Βασικές ζειγανίες σε μεταβαθμίζοντας μηρίς σε λόγον μεταβαθμίζοντας υπόδειξης της περιοχής.

- 48 Βασικές ζειγανίες σε μεταβαθμίζοντας μηρίς σε λόγον μεταβαθμίζοντας υπόδειξης της περιοχής.



Ψηφιακή Βιβλιοθήκη "Θεόφραστος" - Τμήμα Γεωλογίας, Α.Π.Θ.

και του αγροτικού δρόμου Χέρσο-Ακρίτα δυτικά. Όλες οι εμφανίσεις σιδηρούχων σχηματισμών που απαντώνται στην περιοχή έρευνας φιλοξενούνται στα μεταηφαιστειακά πετρώματα.

Από το συσχετισμό των τεσσάρων τομών της περιοχής Μαύρος Βράχος (Σχ. 2) διαπιστώθηκε η ύπαρξη ενδιαφέροντος σιδηρούχου σχηματισμού του οποίου προς Βορρά μειώνεται (Τ1) το πάχος του, αλλά λίγα μέτρα δυτικότερα εμφανίζεται και άλλος ορίζοντας. Στην Τ2 ανατολικά διαπιστώνεται ένας δεύτερος ορίζοντας σιδηρούχου σχηματισμού που παρουσιάζει τις ίδιες παραγενέσεις προς την Τ3 και Τ4. Προς τα νότια ο ορίζοντας αυτός καλύπτεται από αλούβιακές αποθέσεις και κορήματα πρανών και πιθανόν κάτω από αυτόν να συνεχίζεται ο σιδηρούχος σχηματισμός.

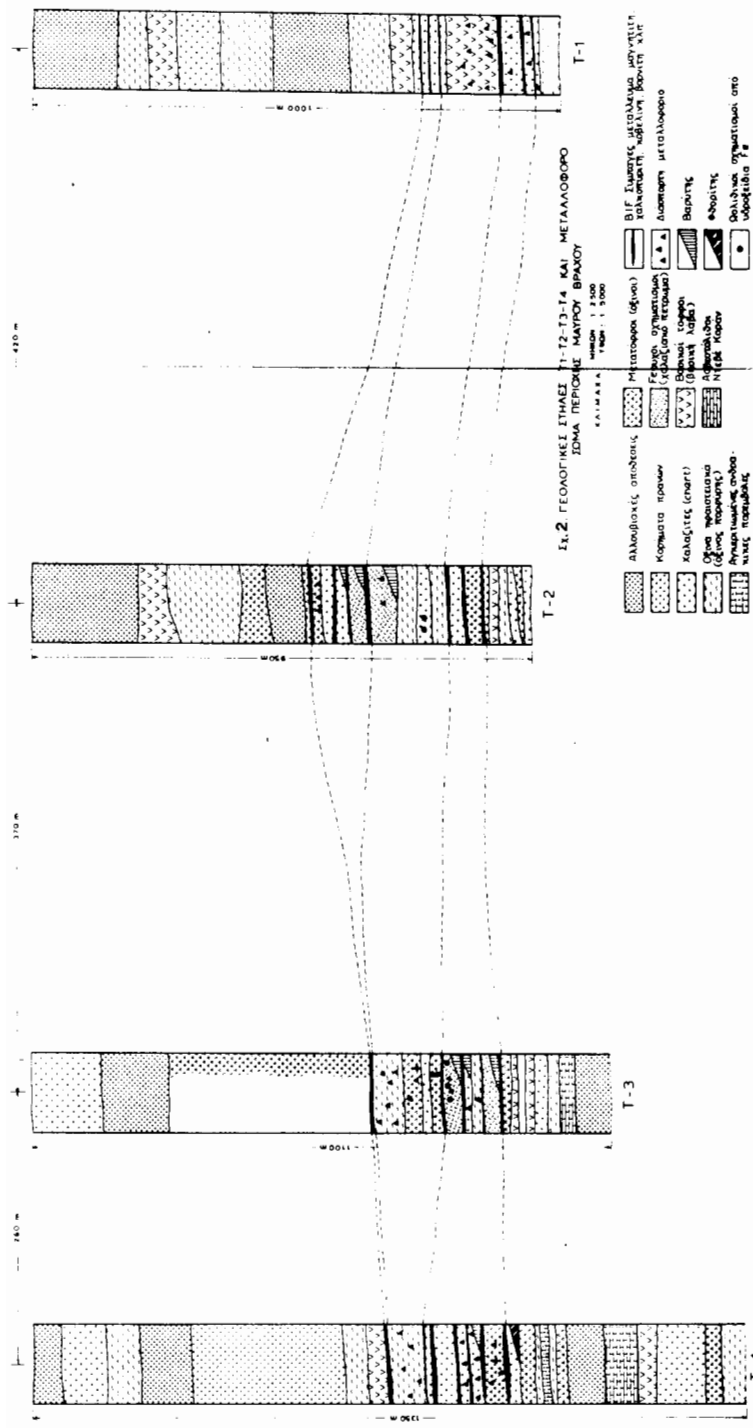
3. ΠΕΤΡΟΛΟΓΙΑ ΚΑΙ ΠΕΤΡΟΓΡΑΦΙΑ

3.1 Περιβάλλοντα πετρώματα

Από την ορυκτολογική πετρογραφική μελέτη, με βάση κυρίως το μικροσκόπιο και ανάλυση X-R-D 60 περίπου δειγμάτων από τα πετρώματα που αποτελούν την ηφαιστειοϊζηματογενή σειρά της περιοχής του Μαύρου Βράχου διαπιστώθηκαν :

1. Όξινα μεταηφαιστειακά (μεταρυδλίθοι, μεταρυθματίτες) πετρώματα με υπολειμματικό πορφυρίτικό ιστό.
2. Όξινοι μετατόφθοι (σερικιτικοί σχιστόλιθοι), αποτελούν κλαστικά μεταϊζήματα από υλικά κύρια ηφαιστειακής προέλευσης (Τσαμαντουρίδης και Χωριανοπούλου υπόδημοσίευση).
3. Ανθρακικοί σχιστόλιθοι κλαστικά μεταϊζήματα.
4. Πρασινίτες (μεταβασίτες, βασικοί μετατόφθοι), είναι βασικά εκρηκτιγενή πετρώματα και τόφοι.
5. Χαλαζίτες και σιδηρούχοι σχηματισμοί σε εναλλαγές συνθέτουν κύρια χημικά μεταϊζήματα .

Από τις μακροσκοπικές επίσης παρατηρήσεις και ορυκτολογικές παραγενέσεις (νεοβλάστες) βιοτίτη στους δεξινούς μεταηφαιστίτες μετατόφθους και χαλαζίτες, ακτινόδιλιθο-χλωρίτη-επίδοτο-αλβίτη, στους πρασινίτες), προκύπτει διτι τα παραπόνω πετρώματα έχουν υποστεί χαμηλού βαθμού μεταμόρφωση στα πλαίσια της πρασινοσχιστολιθικής φάσης και τεκτονική καταπόνηση, με αποτέλεσμα να παρουσιάζουν μηχανικές πα-



ραμορφώσεις, κατακερματισμό και έντονα προσανατολισμένη συχνά σχιστώδη υφή.

Παρατηρείται ακόμα μέτρια έως έντονη εξαλλοίωση, σερικιτίωση χλωρίτωση και δευτερογενή πυριτίωση από επίδραση υδροθερμικών διαλυμάτων, με αποτέλεσμα την παρουσία σερικίτη κυρίως στους δεξινούς μεταφαιστίτες και μετατόφθους, χλωρίτη στους δεξινούς μεταφαιστίτες και μετατόφθους, χλωρίτη στους ανθρακικούς σχιστολίθους, πρασινίτες και χαλαζίτες, καθώς και διφθορών χαλαζιακών φλεβιδίων, που διασχίζουν κυρίως τους δεξινούς μεταφαιστίτες και μετατόφθους.

3.2 Πετρογραφία μεταλλοφόρων σχηματισμών

Οι χαλαζίτες είναι μεταμορφωμένα πυριτικά και σιδηρούχα χημικά ιζήματα (chert) υδροθερμικής προέλευσης, με μικρή σχετικά συμμετοχή κλαστικών υλικών.

Τα πετρώματα έχουν χρώμα ανοικτό έως σκοτεινό γκρί, είναι συμπαγή μικροκρυσταλλικά με υφή προσανατολισμένη ταίνιωτή, ελαφρώς πτυχωμένη (Φωτ. 1). Αποτελούνται κυρίως από μικροκρυσταλλική μάζα χαλαζία, σε πολυγωνικούς σχεδόν ισομεγέθεις και ελαφρώς επιμηκυμένους παράλληλα προς την υφή κόκκους, που αναπτύσσουν μεταξύ τους τριπλό σημείο επαφής. Το μέγεθος των χαλαζιακών κόκκων είναι της τέτης κλάσματος του χιλιοστού και συνήθως δεν ξεπερνά το 0,30 χλμ. Στους χαλαζιακούς κόκκους παρατηρούμε συχνά εγκλείσματα, πλήθος από λεπτόκοκκα κρυσταλλίδια αιματίτη και στα περιθώρια των κόκκων, την ανάπτυξη λεπτότατων ωλιθικών σχηματισμών από οξείδια σιδήρου (δείγμα B14).

Μέσα στη χαλαζιακή μάζα παρεμβάλλονται σε λεπτό στρωσιγενή ελαφρώς πτυχωμένα επίπεδα, συγκεντρώσεις χλωρίτη, βιοτίτη μερικώς εξαλλοιωμένο σε χλωρίτη, με χαρακτηριστικές πρόσινες αποχρώσεις πλεοχρωϊσμού και λιγότερο σερικίτη. Σπάνια βρίσκουμε μικρές συγκεντρώσεις ασβεστίτη. Απαντώνται ακόμα σε διάφορες αναλογίες, που πολλές φορές φτάνουν και το 20% περίπου, κρύσταλλοι μαγνητίτη, αιματίτη και υδροξείδια σιδήρου που κατά ζώνες παρουσιάζουν πυκνότερη κατανομή. Η εναλλαγή ζωνών πλουσιώτερων σε οξείδια σιδήρου και οι ενστρώσεις των φυλλοπυριτικών ορυκτών, αποτελούν υπόλοιπο της ιζηματογενούς υφής του αρχικού πετρώματος. Ο μαγνητίτης αναπτύσσει ιδιόμορφους, υπιδιόμορφους και ξενόμορφους κρυστάλλους μεγέθους από κλάσμα του χιλιοστού έως και 2 χιλ. που συνήθως είναι μεμονωμέ-

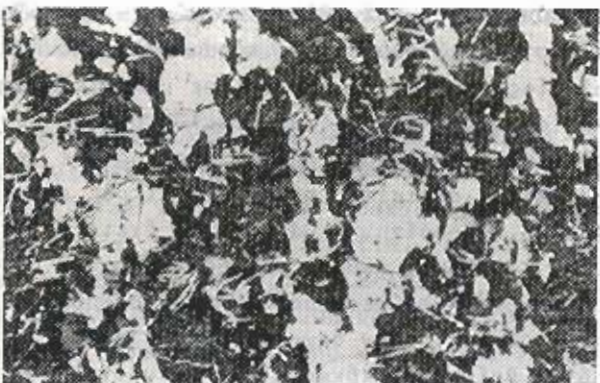
νοι διδσπαρτοι ή σχηματίζουν μικρό συσσωματώματα. Ο μαγνητίτης επίσης έχει υποστεί ελαφρύ έως αρκετά έντονη εξαλλοίωση σε αιματίτη (μαρτιτίωση) και ακόμα εξαλλοίωση σε υδροξείδια σιδήρου, καθώς και έντονη κατάκλαση. Σπάνια παρατηρούμε λεπτόκοκκα κρυσταλλίδια σιδηροπυρίτη, χαλκοπυρίτη, βορνίτη, χαλκοσύνη, κοβελίνη κυρίως ως εγκλείσματα στο μαγνητίτη. Εκτός από το δευτερογενή αιματίτη που προέρχεται από την μαρτιτίωση του μαγνητίτη, υπάρχει και αυτογενής αιματίτης που σχηματίστηκε απ' ευθείας, σε ιδιμορφους πρισματικούς υγιεινούς κρυστάλλους, παράλληλα προσανατολισμένους και συμπυγμένους με το πέτρωμα. Λεπτότατα διδσπαρτα κρυσταλλίδια αιματίτη και κολλοειδή υδροξείδια σιδήρου με προσανατολισμό παράλληλο προς την υφή του πετρώματος αποτελούν υπολείμματα αρχικού ιζηματογενούς ιστού.

Στους χαλαζίτες απαντάται σε σημαντική συχνά αναλογία ο βαρύτης κυρίως στις ζώνες που είναι πλουσιώτερες σε οξείδια σιδήρου. Σπανιώτερα παρατηρούμε την παρουσία του φθορίτη, σε διδσπαρτους κόκκους ή με τη μορφή φλεβιδίων μαζί με δευτερογενή χαλαζία. Σποραδικά βρίσκουμε κρυστάλλους ζιρκονίου καθώς και μικρές συγκεντρώσεις ρουτιλίου ψευδόμορφες κατά τιτανίτη.

Οι σιδηρούχοι σχηματισμοί είναι χημικά κυρίως μεταϊζήματα και αποτελούν σχηματισμούς παρδμοίους με τους χαλαζίτες. Διαφέρουν δημος από αυτούς λόγω της μεγάλης συμμετοχής των οξειδίων σιδήρου, που συχνά ξεπερνούν και το 60%. Είναι πετρώματα με χρώμα σκοτεινό καστανό, μικροκρυσταλλικό συμπαγή με προσανατολισμένη τατινιωτή υφή (Φωτ. 2). Ο χαλαζίας σ' αυτά, συμμετέχει σε μικρότερη απ' δι τη στους χαλαζίτες αναλογία, ενώ ο βαρύτης σε μεγαλύτερη και συνδέεται στενότερα με τα υδροξείδια σιδήρου. Σπάνια παρατηρούμε λεπτοεντρώσεις χλωρίτη, βιοτίτη, σερικίτη, καθώς και μικρές συγκεντρώσεις ασβεστίτη, μαλαχίτη, αζουρίτη. Ο μαγνητίτης έχει υποστεί έντονη μαρτιτίωση, συχνά καθολική, καθώς και εξαλλοίωση σε υδροξείδια σιδήρου. Παρατηρούμε συγκεντρώσεις υδροξειδίων σιδήρου ψευδόμορφες κατά μαγνητίτη, που διατηρούν δημος μικρό υπολείμματα του αρχικού κρυστάλλου. Σπάνια βρίσκουμε κόκκους σιδηροπυρίτη, χαλκοπυρίτη, χαλκοσύνη, κυρίως ως εγκλείσματα στο μαγνητίτη. Όπως και στους χαλαζίτες, εκτός από τον δευτερογενή μαρτίτη, ο αιματίτης απαντάται και σε λεπτό ιδιμορφά αυτογενή κρυσταλλίδια.



Φωτ. 1: Χαλαζίνης πλούσιος σε πρασινοβιοτίτη, μαγνητίτη, αιματίτη και βαρύτη με πτυχωμένη υφή Ν //, X 35 (δείγμα B16).



Φωτ. 2: Φε-ούχος σχηματισμός. Συγκεντρώσεις μαγνητίτη με στρωσιγενή υφή και αυτογενή λεπτοφυλλάρια αιματίτη, σε ανακλώμενο φωτισμό Ν//, X 35 (δείγμα B 34).

4. ΧΗΜΙΚΑ ΧΑΡΑΚΤΗΡΙΣΤΙΚΑ

4.1. Περιβάλλοντα πετρώματα

Τα χημικά χαρακτηριστικά των περιβαλλόντων πετρωμάτων παρουσιάζονται στους Πιν. 1-3. Τα μεταηφαίστειακά πετρώματα του Μαύρου Βράχου είναι κυρίαρχα δξινης (ρυθλίθοι και ρυοδακίτες) και βασικής σύστασης που με την σχετική απουσία ενδιάμεσων μελών διαγράφουν μιά χαρακτηριστική ασβεσταλκαλική τάση δυαδικής ηφαιστειδιτητας (Σχ. 3), με υποαλκαλικές συγγένεις (Σχ. 4). Τα μεταβασικά πετρώματα, σε διαφορδ με το κυρίαρχο ασβεσταλκαλικό χαρακτήρα των δξινων μεταηφαίστειακών, παρουσιάζουν αβυσσικό θολεϊτικό περιβάλλον πετρογενετικής προέλευσης (Σχ. 5). Ο δυαδικός μαγματισμός και ο διαφορετικός πετροχημικός χαρακτήρας των δξινων και βασικών μελών αποτελούν ενδεικτικά στοιχεία για την παράλληλη (στο χώρο και τον χρόνο) εξέλιξη βασαλτικής και δξινης ηφαιστειδητης διαφορετικής γενετικής προέλευσης, σε εφελκυστικό περιβάλλον (VIVALLO, 1984). Το επακόλουθο περιβάλλον συμπίεσης δημιουργεί "ανάμικτο" μέγμα και σχηματισμό ενδιάμεσης σύστασης ηφαιστειακών προϊδντων. Ο συνδυασμός μιάς ενδοηπειρωτικής τεκτονικής δομής με εναλλαγές εφελκυστικών και συμπιεστικών τάσεων είναι χαρακτηριστικός γεωτεκτονικού περιβάλλοντος τύπου 'Ανδεων, με σύνθετη διαδοχική εξέλιξη καταβύθισης-εφελκυσμού-κατάπτωση (subduction-coupled spreading-subsidence), στο περιθώριο της ηπειρωτικής πλάκας.

Hughes

Σύμφωνα με το δείκτη εξαλλοίωσης^V (Σχ. 6) τα μεταηφαίστειακά πετρώματα τοποθετούνται στο πεδίο της καλιούχου μετασωμάτωσης που είναι χαρακτηριστικό φαινόμενο χαμηλής θερμοκρασίας ($T < 150^{\circ}\text{C}$) υποθαλάσσιας υδροθερμικής εξαλλοίωσης (ARVANITIDIS & RICKARD, 1986).

Από τις χημικές αναλύσεις των διαφόρων πετρολογικών τύπων (βλ. Πιν. 1-4) οι περιεκτικότητες σε ppm στα βασικά μέταλλα κυμαίνονται στους χαλαζίτες chert Cu=12-312, Pb=14-13.600, Zn=7-297, Fe=50-150. Στα δξινα μεταηφαίστειακά : Cu=5-45, Pb=9-74, Zn = 17-134, Fe = 50-130. Στους μετατόφθους : Cu=2-379, Pb=6-330, Zn= 33-1950, Fe = 30-110. Στους πρασινίτες Cu=36-52, Pb=6-10, Zn = 44- 133, Fe = 40 - 120.

4.2 Μεταλλοφόροι σχηματισμοί

Οι Fe-ούχοι σχηματισμοί Μαύρου Βράχου-Μεταλλικού περιέχουν σχετικά υψηλές τιμές σε Cu, Pb, Zn και Ba(Πιν. 5). Πρέπει να σημειωθεί δτι οι πρόσφατες χημικές αναλύσεις στην περιοχή Μαύρου Βράχου

ACID VOLCANICS

=====

TABLE: 1.

%	B1	B1A	B12	B21	B28	B32	B33	B38	B40	B41	%
SiO ₂	68.45	77.00	72.73	77.00	75.94	79.14	79.14	64.17	79.15	77.00	SiO ₂
TiO ₂	0.33	0.33	0.17	0.17	0.33	nd	0.17	0.17	nd	nd	TiO ₂
Al ₂ O ₃	14.55	9.64	12.47	9.26	10.83	9.37	10.58	15.50	9.22	10.11	Al ₂ O ₃
Fe ₂ O ₃	0.72	0.14	1.72	0.36	1.07	0.26	0.04	2.42	1.90	1.55	Fe ₂ O ₃
FeO	1.80	1.29	1.15	1.22	1.87	0.93	0.86	1.94	0.86	0.79	FeO
MnO	0.01	0.03	0.04	0.03	0.04	0.01	0.01	0.12	0.01	0.04	MnO
MgO	1.01	0.70	0.85	0.61	1.16	0.27	0.30	2.14	0.30	0.13	MgO
CaO	0.36	0.28	0.42	0.17	0.13	0.11	0.14	0.07	0.06	0.07	CaO
Na ₂ O	4.58	2.83	4.45	4.45	0.13	0.27	0.27	0.40	0.13	0.27	Na ₂ O
K ₂ O	3.61	2.65	2.89	1.57	5.90	6.75	7.23	7.11	5.18	6.14	K ₂ O
P ₂ O ₅	0.04	nd	0.05	0.05	nd	nd	0.05	nd	nd	nd	P ₂ O ₅
H ₂ O	0.14	0.24	0.26	0.17	0.13	0.08	0.05	0.09	0.14	0.03	H ₂ O
LOI	2.27	1.99	1.86	3.06	1.59	2.20	1.07	3.52	1.24	0.82	LOI
Total	97.87	97.12	99.06	98.12	99.12	99.39	99.91	97.65	98.19	96.95	Total
FeO*	2.45	1.42	2.70	1.54	2.83	1.16	0.90	4.12	2.57	2.18	FeO*
FeO*/MgO	2.42	2.02	3.17	2.53	2.44	4.31	2.99	1.92	8.57	16.81	FeO*/MgO
PPM	B1	B1A	B12	B21	B28	B32	B33	B38	B40	B41	PPM
Cu	8	15	8	4	10	31	45	5	55	24	Cu
Pb	20	23	12	16	74	9	9	28	10	74	Pb
Zn	134	65	116	33	76	20	17	104	31	47	Zn
Ni	0	0	5	0	3	0	0	0	0	4	Ni
Co	34	31	43	37	48	62	58	15	58	69	Co
Ba	120	70	130	60	100	50	50	90	80	80 _Y	Ba
Cd	0	0	0	0	0	0	0	0	0	0	Cd
Sr	18	5	7	18	4	10	5	12	7	3	Sr
Zr	421			350		217		831	152		Zr
Rb	129			96		139		354	194		Rb
Y	52			56		46		161	55		Y
Nb	6			6		9		12	6		Nb
W	43					46		55	52		W
PPM	B1	B1A	B12	B21	B28	B32	B33	B38	B40	B41	PPM

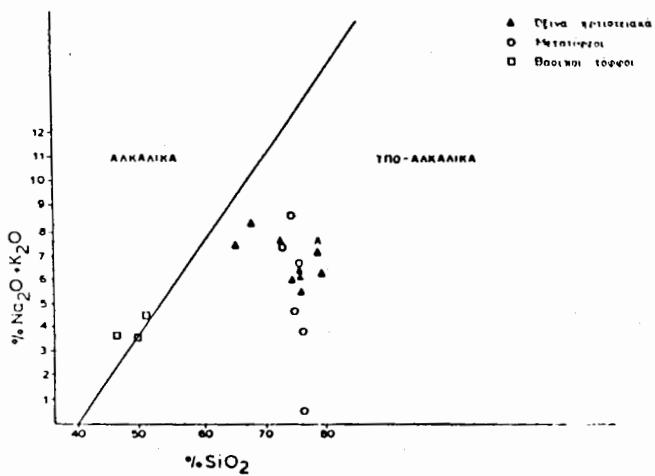
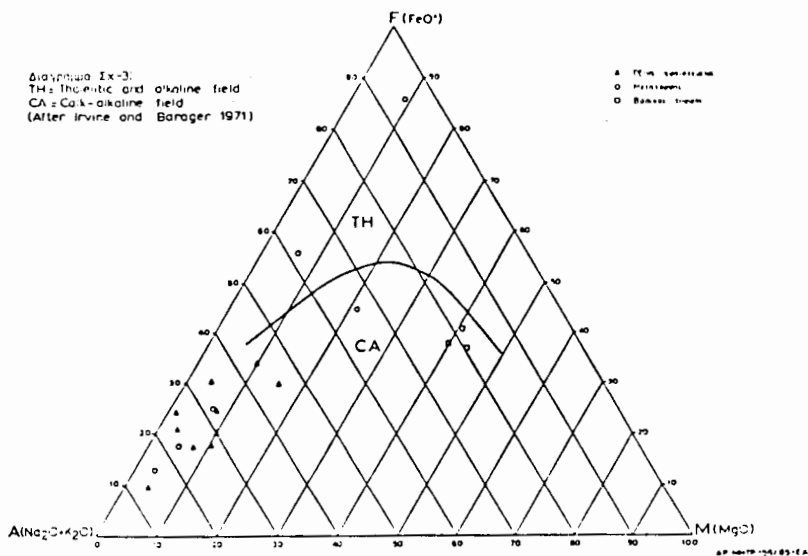
METATUFFS (SCHISTS)

TABLE: 2

	B2	B4	B11	B20	B37	%
Total	97.83	101.53	97.81	97.71	97.93	Total
FeO*	5.27	1.41	2.66	5.40	1.29	FeO*
FeO*/MgO	2.07	0.32	3.41	6.67	3.39	FeO*/MgO
PPM	B2	B4	B11	B20	B37	PPM

TABLE: 3

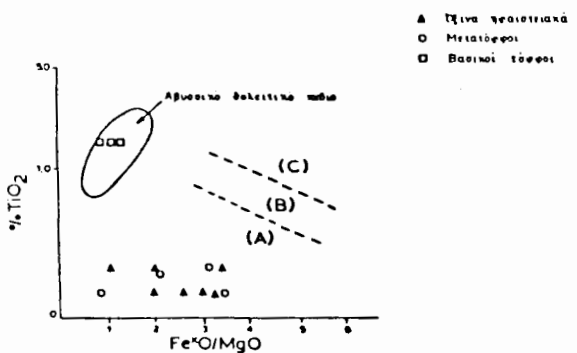
	I	B29	B22	B23	I
Si02	51.34	49.20	47.06	51.02	
Ti02	1.17	1.17	1.17	1.17	Ti02
Al2O3	11.36	14.46	16.16	16.16	Al2O3
Fe2O3	1.59	1.85	1.16	1.16	Fe2O3
FeO	6.68	6.32	7.19	7.19	FeO
MnO	0.18	0.14	0.15	0.15	MnO
MgO	8.29	7.88	9.53	9.53	MgO
CaO	6.30	8.40	4.90	4.90	CaO
Na2O	2.16	1.48	1.89	1.89	Na2O
K2O	2.41	2.17	2.65	2.65	K2O
P2O5	nd	nd	nd	nd	P2O5
H2O	0.10	0.20	0.24	0.24	H2O
L01	4.27	3.54	4.78	4.78	L01
Total	98.850	96.810	96.880	96.880	Total
FeO*	FeO*/MgO	FeO*/MgO	FeO*/MgO	FeO*/MgO	FeO*
PPM	B29	B22	B23	PPM	
Cu	43	36	52	Cu	
Pb	7	10	6	Pb	
Zn	133	44	82	Zn	
Ni	62	78	123	Ni	
Co	24	28	29	Co	
Ba	120	40	70	Ba	
Cd	0	0	16	Cd	
Sr	168	14	300	Sr	
Ir	88	71	71	Ir	
Rb	76	76	76	Rb	
Y	25	Y	Y	Y	
Nb	1	1	1	Nb	
W	6	4	11	W	
PPM	B29	B22	B23	PPM	



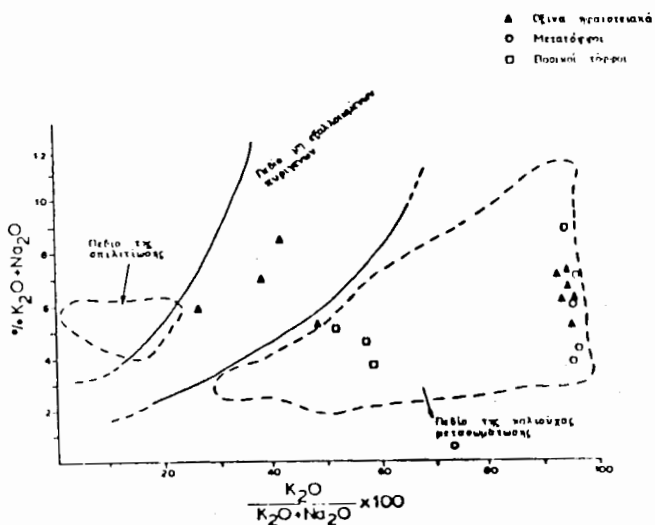
Διαγράμμα Σχ-4: Διαχωρισμός αλκαλικών και υπο-αλκαλικών λαβών
 (Mac Donald + Katsura 1964)

TABLE: 4

	I	K5	K6	K7	K9	B3	B7	B14	B27	B26	I
Si02	94.12	79.15	79.15	77.00	87.70	81.28	83.43	81.28	77.00	81.02	
Ti02	nd	nd	nd	nd	nd	0.17	nd	0.17	0.17	0.17	Ti02
Al203	0.49	7.28	5.48	5.39	1.64	3.33	5.69	9.53	4.91	4.91	Al203
Fe203	2.70	2.55	1.88	5.99	0.09	9.99	1.35	0.45	4.34	4.34	Fe203
FeO	0.79	2.59	5.39	3.88	0.43	0.79	0.72	1.01	6.90	6.90	FeO
MnO	nd	0.04	0.12	0.06	0.01	0.03	0.01	0.01	0.06	0.06	MnO
MgO	0.05	1.21	2.30	1.13	0.17	0.68	0.45	0.83	1.11	1.11	MgO
CaO	0.06	0.07	0.07	0.06	3.50	0.11	0.07	0.11	0.08	0.08	CaO
Na20	0.13	0.27	0.13	0.13	nd	0.13	0.13	0.94	0.13	0.13	Na20
K20	0.24	1.81	0.12	0.84	0.84	0.12	3.37	3.37	0.36	0.36	K20
P205	nd	nd	nd	nd	0.07	0.08	0.05	nd	nd	nd	P205
H20	0.05	0.27	0.09	0.33	0.06	0.32	0.14	0.03	0.09	0.09	H20
L01	1.24	2.95	2.57	2.82	3.02	2.19	1.54	2.50	1.99	1.99	L01
Total	99.87	98.19	97.90	97.63	97.53	99.22	97.15	99.87	Total		
FeO*	3.22	4.88	7.08	9.27	0.51	9.78	1.93	1.41	FeO*		
FeO*/MgO	64.39	4.04	2.44	8.20	3.01	14.38	2.98	1.70	FeO*/MgO		
PPM	K5	K6	K7	K9	B3	B7	B14	B27	B26	PPM	
Cu	55	16	312	36	12	312	125	66	379	Cu	
Pb	32	41	82	14	1360	82	54	44	40	Pb	
Zn	7	195	110	297	282	110	29	47	270	Zn	
Ni	4	0	4	0	0	4	5	0	.5	Ni	
Co	150	49	65	79	96	65	65	42	50	Co	
Ba	0	50	50	150	50	50	100	70	110	Ba	
Cd	0	0	0	1	3	0	0	0	0	Cd	
Sr	1	1	2	3	4	2	1	2	1	Sr	
Zr				144						Zr	
Rb				38						Rb	
Y				40						Y	
Nb				4						Nb	
W				36						W	



Διάγραμμα Σχ.-5: Διάκριση των πηφαιστειακών πετρωμάτων βασισμένη στη σχέση TiO_2 και $\text{Fe}^{+2}/\text{MgO}$ (Miyashiro, 1974). Κ=Θνετική σειρά, Β=σοβεστοαλκαλική και Ζ=σοβεστοαλκαλική σειρά



Διάγραμμα Fig-6: Διάγραμμα της χημικής μεταβολής (κατό Huggins 1973) των μεταηφαιστειακών πετρωμάτων

FERROUS ORE

TABLE 5

I	85	86	88	89	813	816	818	824	825	830	831	834	835	836	838a	K7a	K8	MIN.	MAX.	MEAN	S.D.	%	
Si	0.02	79.95	71.21	17.11	55.62	23.53	44.92	25.67	55.90	57.76	34.23	59.90	14.97	32.09	53.48	40.64	83.43	14.97	83.43	46.90	20.66	5.02	
Ti	0.02	0.00	0.00	0.00	0.00	0.00	0.00	0.00	0.00	0.00	0.16	0.00	0.00	0.00	0.00	0.00	0.00	0.00	0.00	0.00	0.02	0.05	
Al	203	0.19	0.19	1.89	4.53	2.46	1.89	1.89	1.89	10.20	12.85	10.96	6.19	11.19	6.42	6.41	12.85	3.81	4.18	12.85	3.81	4.18	12.85
Fe	203	15.65	19.00	70.30	33.07	35.10	27.45	47.21	33.20	4.24	24.40	4.61	51.24	54.46	31.19	38.15	3.15	1.15	70.30	30.77	18.49	F203	
FeO	0.72	1.01	0.55	0.79	13.58	7.45	7.19	1.01	1.72	11.50	11.42	5.10	6.97	6.04	0.79	1.15	0.35	13.58	4.81	4.35	FeO		
MnO	0.01	0.01	0.11	0.06	0.90	0.08	0.04	0.07	0.03	0.69	0.10	0.01	0.01	0.02	0.05	0.01	0.01	0.90	0.10	0.10	0.21	MnO	
MgO	0.32	0.02	0.05	1.77	2.57	0.03	0.05	0.96	0.01	2.31	1.24	0.07	0.13	1.72	0.58	0.02	3.01	0.93	3.01	0.93	1.01	MgO	
CaO	0.07	0.08	0.07	8.75	1.13	0.05	0.10	0.07	0.08	0.18	0.08	0.17	0.25	0.24	0.11	0.05	8.75	0.66	2.09	8.75	0.66	2.09	CaO
Na2O	0.76	8.76	9.47	8.90	8.63	9.71	8.90	8.00	8.76	8.63	0.40	0.27	0.40	0.27	0.40	0.27	9.71	5.70	4.11	9.71	5.70	4.11	Na2O
K2O	0.24	0.24	0.44	0.36	1.08	1.81	0.12	0.20	4.82	4.34	1.66	0.12	0.12	0.48	3.01	0.12	4.82	1.20	1.50	4.82	1.20	1.50	K2O
P2O5	0.00	0.07	0.04	0.00	0.62	0.00	0.06	0.00	0.00	0.00	0.00	0.00	0.00	0.00	0.00	0.00	0.00	0.00	0.00	0.00	0.05	P2O5	
H2O																						H2O	
LOI																						LOI	
Total	97.91	100.60	100.00	100.76	98.49	96.58	89.46	100.42	88.70	99.42	99.93	73.35	94.35	92.01	88.76	98.45	94.95	Total					
FeO*	14.90	18.11	63.81	30.50	45.16	32.15	49.67	50.88	5.54	33.46	15.57	51.21	55.97	34.10	35.12	3.98		FeO*					
FeO/MgO	46.26	60.354	31.90	30.10	25.52	12.51	145.5	65	617.67	5.77	11.11	6.74	41.29	799.62	282.34	20.42	6.87	FeO/MgO					
PFM	85	85	86	89	813	816	816	824	825	830	831	834	835	836	838a	K7a	K8	MIN.	MAX.	MEAN	S.D.	PFM	
Cu	37	29	76	2000	515	610	3500	4500	87	92	136	437	316	202	1400	21						Cu	
Cr	23	59	260	250	2300	142	2500	220	47	34	2	4000	3800	1200	3400	9						Cr	
In	19	547	169	262	800	4550	600	450	36	450	370	450	700	750	1650	17						In	
Ni	0	1	0	0	0	0	0	0	0	0	0	0	0	0	0	0	0	0	0	0	0	Ni	
Co	115	113	31	93	17	74	25	93	53	22	30	15	52	86	28	45						Co	
Ag	5.6	1.1	0.1	3.7	2.7	2.9	60.2	7.7	0.5	2.4	1.3	4.1	6.8	6.2	32.6	6.3						Ag	
Ba	70	50	70	690	110	80	110	70	60	70	170	30	70	70	100	90						Ba	
Ca	0	0	0	0	1	1	3	0	0	0	0	0	0	0	0	0						Ca	
Sr	9	4	2	14	57	226	0	2	6	2	8	70	245	169	2	1						Sr	
Ir																					Ir		
Rb	79	142																				Rb	
V																						V	
W																						W	
Li	85	26	62	67	813	816	818	824	825	830	831	834	835	836	838a	K7a	K8	MIN.	MAX.	MEAN	S.D.	PFM	

έδωσαν και Βα που κυμαίνεται από 0,32 έως 8% (ΤΣΑΜΑΝΤΟΥΡΙΔΗΣ Π.-ΧΩΡΙΑΝΟΠΟΥΛΟΥ Π. 1985) που διαπιστώθηκε και μικροσκοπικά. Χαρακτηρίζονται από την υψηλή περιεκτικότητα σε σίδηρο Fe με τιμή που κυμαίνεται από 3,95 - 12,57%, μέση τιμή 8,98% και σταθερή απόκλιση 4,49 και SiO_2 από 49,20 - 68,45%, μέση τιμή 62,03% και σταθερή απόκλιση 11,11.

Τα βασικά μέταλλα στον ορίζοντα του BIF (Πιν. 5) έχουν τιμές σε ppm : Cu=21-32.500, Pb=2-4.000, επί 6 δειγμάτων κυμαίνονται από 1200-4000, Zn=17-4.550 επί 12 δειγμάτων από 282-4.550, Ag=0,6-60,2 gr/t και Ba=30-600. Η σχέση του Fe (Σχ. 7) βασικών μετάλλων είναι συμπαθητική αφού με την περιεκτικότητα σε Fe παρατηρείται μία τέση αύξησης των βασικών μετάλλων (Cu, Pb, Zn).

5. ΣΥΖΗΤΗΣΗ - ΣΥΜΠΕΡΑΣΜΑΤΑ

5.1 Γεωλογικό περιβάλλον

Ο συνδυασμός δλων των παραμέτρων (στοιχεία υπαίθρου, πετρογραφικό, χημικό, γεωχημικό και εργαστηριακό στοιχεία) κατατάσσει την περιοχή Μ.Βράχου σε υποθαλάσσια ηφαιστειότητα. Αναφέρουμε μερικά βασικά στοιχεία για την τεκμηρίωση της άποψης.

- Απουσία παρεμβολών αποθέσεων ήπειρωτικής προέλευσης εντός των μεταηφαιστειακών πετρωμάτων.
- Σύγχρονες με την έκχυση των μεταηφαιστειακών πετρωμάτων, ανθρακικές παρεμβολές.
- Η σιδηρούχος μεταλλοφορία σε συνδυασμό με την παρουσία βαρύτη και εκείνη του Μεταλλικού σε συνδυασμό με γαληνίτη, βαρύτη και φθορίτη που είναι στρωματόμορφη συγγενετική και απαντά μέσα σε χαλαζίτες, δεινα μεταηφαιστειακά και μετατόφθους (πιθανόν να υπάρχει χωρική σχέση των σιδηρούχων με συμπαγή βασικά μέταλλα).
- Η Κυμεταλλώση που οφείλεται στην αντίδραση με θαλασσινό νερό, και τέλος
- Χλωριτίωση που οφείλεται στη μαγνησιούχα μετασωμάτωση και είναι αποτέλεσμα της αντίδρασης των μεταηφαιστειακών πετρωμάτων με το θαλασσινό νερό, σε ηφαιστειοϊζηματογενές περιβάλλον (FISHEP & SCHUNINCKE 1984, ΒΕΡΑΝΗΣ Ν. και ΚΟΥΓΚΟΥΛΗΣ Χ. 1985).

5.2 Μεταλλογενετική ερμηνεία

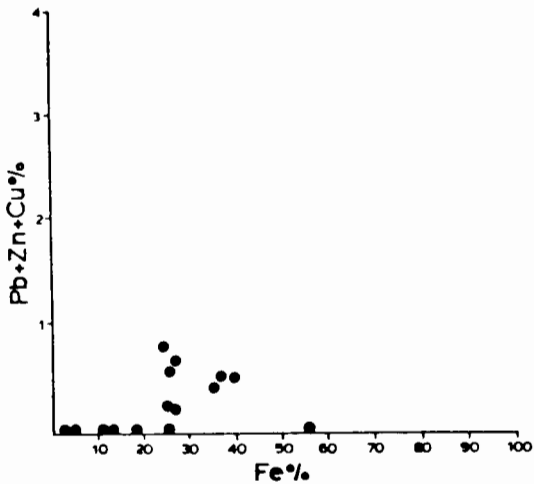
Οι Fe-ούχοι σχηματισμοί ανάλογα αν σχετίζονται ή δχι με μεταλλοφορία μικτών θειούχων και ανάλογα με την απόσταση από αυτή, παρουσιάζουν αντίστοιχα γεωχημικά χαρακτηριστικά BROKEN HILL, e.g. STANTON 1972). Κατά τον (JAMES 1954) παρδμοίες περιπτώσεις οφείλονται σε μεταβατική φάση μεταξύ των πυριτικών (silicate facies) και θειούχων ορυκτών.

Στην περιοχή Μαύρου Βράχου η υψηλή περιεκτικότητα του σιδηρούχου σχηματισμού σε βασικά μέταλλα, σε βαρύτη, φθορίτη, σε ελίτη, χαλκοπυρίτη, κοβελλίνη και βορνίτη ενισχύουν την πιθανότητα να σχετίζεται γενετικά και με μεταλλοφορία συμπαγών θειούχων βασικών μετάλλων, τα οποία πιθανόν βρίσκονται :

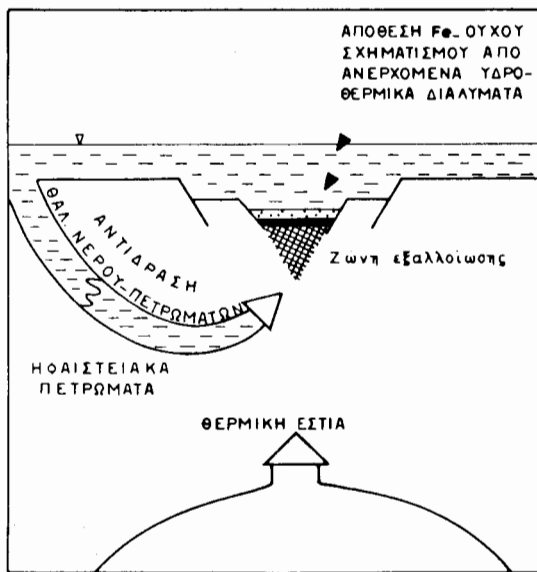
- Επάνω από το σιδηρούχο σχηματισμό που διαβρώθηκε, σημειώνεται δτι η σειρά είναι ανεστραμμένη, δπως αναφέρθηκε προηγούμενα.
- Κάτω από το σιδηρούχο σχηματισμό με μικρό σχετικό βάθος.
- Πλευρικό του σιδηρούχου σχηματισμού με ισοδύναμο στρωματογραφικό ορίζοντα.

Σε συνδυασμό και με τα παραπάνω, παρουσία του Fe-ούχου σχηματισμού στο συγκεκριμένο ηφαιστειοϊζηματογενές περιβάλλον μπορεί να χρησιμοποιηθεί σαν οδηγός, στην έρευνα για εντοπισμό συγκεντρώσεων συμπαγών θειούχων βασικών μετάλλων.

Στο γεωλογικό περιβάλλον των μεταηφαιστειακών πετρωμάτων ο σχηματισμός του ταινιωτού σιδηρούχου σχηματισμού προήλθε από τη χημική ιζηματογένεση λεπτών εναλλαγών πυριτολιθικών (cherty) και σιδηροοξειδίων στρώσεων (Σχ.8). Σύμφωνα με την ταξινόμηση των Fe-ούχων σχηματισμών (CROSS, 1980) η περίπτωση του Μαύρου Βράχου μπορεί να θεωρηθεί τύπος Algona.



Διάγραμμα Σχ.7: Σχέση της περιεκτικότητας σε Βασικά μέταλλα του Fe οχηματισμού & του οιδήρου ($Fe_2O_3 + FeO$)



Σχ.8 Πορεία δημιουργίας των οιδηρούχων οχηματισμού των Μ. Βράχου-Μεταλλικού και συμπαγών θειούχων των βασικών μετάλλων στην ίδια λεκάνη απόθεσης.

B I B L I O G R A P H I A

- ARVANITIDIS N.D. and D.T. RICKARD, 1986 : REE geochemistry of an early proterozoic volcanic ore district, Dammberra, Central Sweden : A summary of results Mineral wealth, 43, p 47-57.
- ΒΕΡΑΝΗΣ Ν., ΚΟΥΓΚΟΥΛΗΣ Χ. (1985) : 'Εκθεση για τη μελέτη του σχηματισμού Εξαιμίλιου και η σχέση του με το γνεύσιο του Βερτίσκου (αδημ. εκθ. ΙΓΜΕ Θεσ/νίκης).
- FISHER R.V., SCHUNINCKE H.U. (1984) : Pyroclastic rocks. Springer Verlag, Berlin. p. 472.
- GROSS A. 1980 : A classification of iron formation based on Depositional Environments Canadian Mineralogist. Vol. 18 p. 215-222.
- HUCHER C. (1972) : Spilites, Keratophyres and the igneous spectrum Geol. Mag. 109, pp. 513-527.
- HUTCHINSON, R.W. (1981) : Metallogenetic evolution and Precambrian tectonics. In : A. Kröner (ed): Precambrian Plate Tectonics, Elsevier, Amsterdam, pp. 733-758.
- IRVINE, T.N., BARAGER, W.R.A. (1971) : A guide to the chemical classification of the common volcanic rocks. Can. J. Earth. Sci., V.8, pp. 523-548.
- JAMES, H.L. (1954) : Sedimentary facies of iron formation. Econ. Geol., V. 49, pp. 235-293.
- ΚΑΛΟΓΕΡΟΠΟΥΛΟΣ Σ., ΓΑΛΑΝΟΠΟΥΛΟΣ Β., ΗΛΙΑΣ Π. (1984) : Χημισμός και τεκτονικό περιβάλλον των βασικών ηφαιστειακών πετρωμάτων της περιοχής Μολδών, ΝΑ Πελοπόννησος και η σχέση του με συμπαγή θειούχο μεταλλοφορία, ΙΓΜΕ Αθήνα.
- KAUFMANN: G., KOCKEL, F., MOLLAT, H. (1976) : Note on the stratigraphic and paleogeographic position on the Svolvå formation in the innermost zones of the Hellenides (N.Greece). Bull. Soc. Geol. France, V. 18, 2, pp. 225-230, Paris.
- ΚΕΛΕΠΕΡΤΖΗΣ, Α., ΧΑΤΖΗΔΗΜΗΤΡΙΑΔΗΣ, Ε. (1984) : Συμβολή στη γνώση της γεωλογίας της Ελλάδας. Εωτερικές Ελληνίδες ζώνες και συμβολή της θεωρίας των λιθοσφαιρικών πλακών (Νο 33) σελ. 41-54.
- KELEPERTZIS, A., CHATZIDIMITRIADIS, E., ANDRULAKIS, J. (1985) : Geology, geochemistry and tectonic setting of a volcano-sedimentary series, Kilkis, Central Macedonia, Greece.
- KOCKEL, F., MOLLAT, H. (1977) : Erläuterungen zur Geologischen Karte der Chalkidiki und angrenzender Gebiete 1:100.000 (Nord Griechenland). Hannover.
- KOSSMAT, F. (1924) : Geologie der zentralen Balkanhalbinsel. Die Kriegsschauplätze 1914-18 geologisch dargestellt, H. 12, s. 198, Berlin.
- MCDONALD, G.A., KATSURA, T. (1964) : Chemical composition of Hawaiian lavas. J. Petr., V.5, pp. 82-133.
- ΜΕΛΙΔΩΝΗΣ, Ν. (1972) : Το τέξον των νεοηφαιστειακών πετρωμάτων Στρυμονικού-Μεταμόρφωσης (Κ.Μακεδονίας). ΙΓΕΥ, Μεταλλευτικαὶ Ερευναὶ Νο 5).

- MERCIER, J. (1965-1973) : Etude géologique des zones internes des Hellenides en Macédoine Centrale Grèce. V.I. & II.
- MIYASHIRO (1974) : Volcanic rock series in island arcs and active continental margins. Amer. J. Sci. 274, 321-355.
- OSSWALD, K. (1983) : Geologische Übersichtskarte von Griechisch-Makedonien 1:300.000. Griech. Geol. Landesanstalt, Athen.
- ΠΑΠΑΣΤΑΥΡΟΥ, Σ., ΧΑΤΖΗΔΗΜΗΤΡΙΑΔΗΣ, Ε. (1980-81) : Συμβολή στη μελέτη της γεωλογίας της Σεβομακεδονικής μάζας. Δελτίο ΕΓΕ, Τ. XV. σελ. 54-73, Αθήνα.
- STANTON, R.C. (1972) : A preliminary account of chemical relationships between sulfide lode and banded iron formation at Broken Hill, NS Wales. Econ. Geol., V. 67, pp 1128-1145.
- ΤΣΑΜΑΝΤΟΥΡΙΔΗΣ, Π., ΑΠΟΣΤΟΛΟΥ, Ν. (1982) : Κοιτασματολογική αναγνώριση της ηφαιστειοϊζηματογενούς σειράς Ακρίτα-Μεταλλικό - Κριθιάς (υπό σύνταξη).
- ΤΣΑΜΑΝΤΟΥΡΙΔΗΣ, Π., ΚΟΥΓΚΟΥΛΗΣ Χ., ΑΠΟΣΤΟΛΟΥ Ν. (1985) : Κοιτασματολογική έρευνα σιδηρούχου σχηματισμού ηφαιστειοϊζηματογενούς σειράς. ΙΓΜΕ, Παρ/μα Θεσ/νίκης.
- ΤΣΑΜΑΝΤΟΥΡΙΔΗΣ, Π., ΖΩΓΡΑΦΟΥ, Χ. (1982) : 'Έκθεση κοιτασματολογικής αναγνωρίσεως στο ανατολικό τμήμα της ζώνης Αξιού (Ν.Κιλκίς). ΙΓΜΕ, Αθήνα, αδημ. έκθεση Νο 3354.
- ΤΣΑΜΑΝΤΟΥΡΙΔΗΣ Π., ΧΩΡΙΑΝΟΠΟΥΛΟΥ Π. (1987) : Μελέτη μεταηφαίστειογενών σχηματισμών της περιοχής Μ. Βράχου τμήμα μεταηφαίστειοϊζηματογενούς σειράς Ακρίτα-Μεταλλικό (αδημ. έκθεση ΙΓΜΕ).
- VIVALLO WALDO, 1984 : The geology and origin of the Zn-Pb-Cu sulfide deposit Garpenberg, Central Sweden, Medd. Stockholms Univ. Geol. Inst. N:r. 257.